

$$P_i = \begin{bmatrix} S_i & & 0 \\ & S_i & \\ 0 & & S_{M,T_i} \end{bmatrix} + \begin{bmatrix} \lambda_1 K_1 & & & 0 \\ K_1 \lambda_2 & & & \\ & & & -K_{M-1} \\ & & & -K_{M-1} \lambda_M \end{bmatrix} \Lambda_i \quad (4)$$

$(S_i)_{T_i}$ は対角マトリックス Λ_i の i 番目の対角要素 T_i 集合に含まれる

i 番目の tree に対応する剛性マトリックスを表わす。また、 $(\lambda_j)_{\Lambda_i}$ は Λ_i の j 番目の対角要素を表わす。 $(K_j)_{\Lambda_i}$ は link 集合 Λ_i に含まれる j 番目の link 集合に対応する剛性マトリックスを表わす。ここで各要素は $(6l, 6l)$ の正方マトリックスである。

式(3)と式(4)とは相似形であるから interconnecting の

議論を式(4)のみで行えば、図(2)-aのように

interconnecting を行なうための基本式は、図(2)-aにおいて、step-1 の片方の撓性マトリックスを求めることが基本となるのでその左半分のみを再結合する式を書けば、式(4)の第1項の逆行列を $[M]$ とおいて、

Householder の修正式⁽¹⁾により、

$$\begin{aligned} [\hat{R}_\xi] &= \{ [R_\xi]_{\Lambda_i}^{-1} + \xi^{-1} [M_{\xi,\xi}] + \xi^{-1} [M_{\xi,2\xi}] - \xi^{-1} [M_{\xi,2\xi}] \}^{-1} \\ \xi [M_{h,k}] &= \xi^{-1} [M_{h,k}] - \{ \xi^{-1} [M_{h,\xi}] \xi^{-1} [M_{\xi,2\xi}] \} \times [\hat{R}_\xi] \\ &\quad \times \{ \xi^{-1} [M_{\xi,k}] - \xi^{-1} [M_{\xi,2\xi}, k] \} \quad (5) \end{aligned}$$

($\xi = 1, 2, \dots, l$; $h = 1, 2, \dots, 2l$; $k = 1, 2, \dots, 2l$)

$(K_j)_{\Lambda_i}$ は $(K_j)_{\Lambda_i}$ の i 番目の対角要素であり、 $\xi [M_{h,k}]$ は $[M]$ の h 行、 k 列目の要素である。

Λ の記号をつけたものはすべて $(6, 6)$ の正方マトリックスを示す。ここで式(5)について i について1度回のくり返し計算により求められた $\xi [M_{h,k}]$ ($h = 1, 2, \dots, 2l$; $k = 1, 2, \dots, 2l$) が求める撓性マトリックスとなる。step-1 の右半分および step-2 も同様に計算が可能で、また式(3)についても同様のことを行なうならば、全体の撓性マトリックスが求められる。

3. 結果と考察

図(2)-aのようにして撓性マトリックスを求める場合を CASE I、図(2)-bのように順次 interconnecting して行く場合を CASE II、トリダイヤゴナルのバンドマトリックスとして求める場合を CASE III として、その乗算回数を Σ 、全体の剛性マトリックスの次数を N 、 $\gamma = (\Sigma/N^3) \times 100$ として、 γ と tree の数 m との関係を図(3)に示す。層数 l の増加に対する γ の減少量は少く 2~3% 以下である。

この事は前にも述べたように、式(3)、(4)が相似形であるのから、立体の場合にもほとんど同じこととなる。

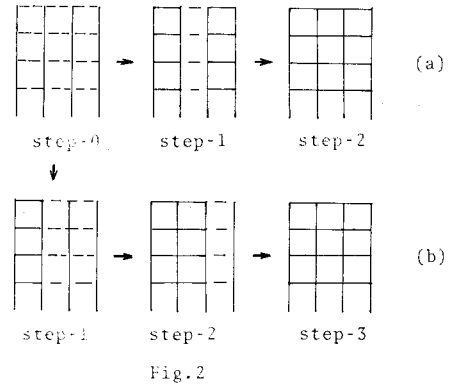


Fig. 2

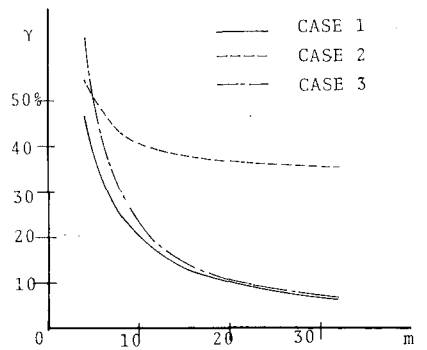


Fig. 3

(1) Fenves, S.J., "Structural Analysis by Networks, Matrices, and Computers," Journal of the Structural Division, ASCE, Vol. 92, No. ST1, Feb., 1966.